- Misure, valori medi, probabilità, proiettore, evoluzione temporale, rappresenta-ZIONE DEGLI IMPULSI E PRINCIPIO DI INDETERMINAZIONE
 - Valore medio.

$$\langle \hat{A} \rangle_{\psi} = \langle \psi | \hat{A} | \psi \rangle$$
 (1.1)

$$\langle \hat{A} \rangle_{\psi} = \text{Tr} \, \rho_{\psi} \hat{A} \tag{1.2}$$

• Normalizzazione. Per base discreta $\{|n\rangle\}$ e per base continua $\{|x\rangle\}$, rispettivamente:

$$\langle \psi | \psi \rangle = \sum_{n=1}^{+\infty} |c_n|^2 = 1$$

$$\langle \psi | \psi \rangle = \int_{\mathbb{R}} |\psi(x)|^2 dx = 1$$
(1.3)

• Matrice densità. Per stato generico:

$$\operatorname{Tr} \rho = 1$$
 $\rho^{\dagger} = \rho$ $\operatorname{Tr} \rho^{2} \leqslant 1$ (1.4)

per stati puri: Tr $\rho^2 = 1$.

Se ρ relativa a spazio composto da due sottospazi, la sua ridotta al primo è:

$$\rho^{(1)} = \text{Tr}_2 \, \rho = \sum_m \left<\alpha_n b_m |\rho| \alpha_j b_m \right> \tag{1.5} \label{eq:problem}$$

La sua evoluzione temporale è:

$$\rho(t) = e^{-\frac{i}{\hbar} \hat{H} t} \rho(0) e^{\frac{i}{\hbar} \hat{H} t} \tag{1.6}$$

• Flusso di probabilità.

$$J = -\frac{i\hbar}{2m} (\psi^* \nabla \psi - \psi \nabla \psi^*)$$
 (1.7)

L'equazione di continuità è:

$$\partial_t |\psi|^2 + \nabla \cdot \mathbf{J} = 0 \tag{1.8}$$

• Probabilità di misura. Dato osservabile \hat{A} , e $\psi = \sum_i c_i |\alpha_i\rangle$ espresso in base fornita da \hat{A} , la probabilità di ottenere la misura α_i su $|\psi\rangle$ è $|c_i|^2$.

Se fornisce base continua, allora:

$$P(\alpha)d\alpha = |\langle \alpha | \psi \rangle|^2 d\alpha \qquad (1.9)$$

La probabilità di trovare una particella in $|\psi
angle$ ad una distanza maggiore di x_0 , per esempio, è:

$$P(x \geqslant x_0) = \int_{x_0}^{+\infty} |\psi(x)|^2 dx$$

• Impulso, posizione e distanza media. Sia $|\psi\rangle$ uno stato; allora:

$$\langle \hat{\mathbf{x}} \rangle_{\psi} = \langle \psi | \hat{\mathbf{x}} | \psi \rangle = \int_{-\infty}^{+\infty} x |\psi(\mathbf{x})|^2 d\mathbf{x}$$

$$\langle \hat{p} \rangle_{\psi} = \langle \psi | \hat{p} | \psi \rangle = \int_{-\infty}^{+\infty} \psi^*(x) \big[- i \hbar \vartheta_x \psi(x) \big] dx$$

$$\langle \hat{\mathbf{r}} \rangle_{\psi} = \int_{\mathbb{R}^3} \sqrt{x^2 + y^2 + z^2} \left| \psi(\mathbf{x}) \right|^2 d^3 \mathbf{x}$$

$$\langle \hat{\mathbf{r}}^2 \rangle_{\Psi} = \int_{\mathbb{R}^3} \left[\mathbf{x}^2 + \mathbf{y}^2 + \mathbf{z}^2 \right] \left| \Psi(\mathbf{x}) \right|^2 d^3 \mathbf{x}$$

dove gli ultimi due sono distanza media dal centro e raggio quadratico medio in 3D.

OSSERVAZIONE 1.1. Il valore medio di spin è analogo, ma calcolato solo su stati di spin; la parte orbitale sparisce per normalizzazione.

• Evoluzione temporale.

$$i\hbar \partial_t \psi(\mathbf{x}, t) = \hat{H}\psi(\mathbf{x}, t)$$
 (1.10)

Trasformate di Fourier.

$$\widetilde{\psi}(p) = \frac{1}{\sqrt{2\pi\hbar}} \int_{-\infty}^{+\infty} \psi(x) e^{-\frac{i}{\hbar}px} dx \qquad (1.11)$$

$$\psi(x) = \frac{1}{\sqrt{2\pi\hbar}} \int_{-\infty}^{+\infty} \widetilde{\psi}(p) e^{\frac{i}{\hbar}px} dp \qquad (1.12)$$

• Principio di indeterminazione. Per operatori \hat{A}, \hat{B} tali che $[\hat{A}, \hat{B}] = i\hat{C}$, su uno stato $|\psi\rangle$ si ha:

$$\Delta_{A}\Delta_{B}\geqslant \frac{|\langle \hat{C}\rangle_{\psi}|}{2}=\frac{|\langle \psi|[\hat{A},\hat{B}]|\psi\rangle|}{2}$$
 (1.13)

dove per generico operatore Ô:

$$\Delta_{\rm O} = \sqrt{\langle \hat{\rm O}^2 \rangle - \langle \hat{\rm O} \rangle^2} \tag{1.14}$$

Commutatori e rappresentazione di operatori

• Rappresentazione di coordinate in impulsi e viceversa.

$$\hat{X}\widetilde{\psi}(p) = i\hbar \partial_p \widetilde{\psi}(p)$$
 (2.1)

$$\hat{P}\psi(x) = -i\hbar\partial_x\psi(x) \tag{2.2}$$

(2.2)

$$[\hat{X}, \hat{P}] = i\hbar \mathbb{1} \tag{2.3}$$

• Commutatori con momento angolare.

$$\begin{split} [\hat{J}_{a},\hat{J}_{b}] = i\hbar\epsilon_{abc}\hat{J}_{c} \quad [\hat{X}_{a},\hat{J}_{b}] = i\hbar\epsilon_{abc}\hat{X}_{c} \\ [\hat{P}_{a},\hat{J}_{b}] = i\hbar\epsilon_{abc}\hat{P}_{c} \end{split}$$

• Momento angolare in coordinate. Si usa il fatto che $\hat{\mathbf{L}} = \hat{\mathbf{x}} \times \hat{\mathbf{p}}$:

$$\hat{\mathbf{L}}\psi(\mathbf{x}) = [-i\hbar\mathbf{x} \times \nabla] \,\psi(\mathbf{x}) \tag{2.4}$$

3 POTENZIALE CENTRALE E CAMBIAMENTI DI VARIABILE

• Coordinate CM e relativa.

$$\hat{\mathbf{X}} = \frac{m_1 \hat{\mathbf{r}}_1 + m_2 \hat{\mathbf{r}}_2}{m_1 + m_2} \qquad \hat{\mathbf{x}} = \hat{\mathbf{r}}_1 - \hat{\mathbf{r}}_2$$

$$\hat{\mathbf{P}} = \hat{\mathbf{p}}_1 + \hat{\mathbf{p}}_2 \qquad \hat{\mathbf{p}} = \frac{m_1 \hat{\mathbf{p}}_1 - m_2 \hat{\mathbf{p}}_2}{m_1 + m_2}$$
(3.1)

Soddisfano $[\hat{X}_i, \hat{P}_j] = i\hbar \delta_{ij}, [\hat{x}_i, \hat{p}_j] = i\hbar \delta_{ij}$ e gli altri commutatori sono nulli.

Tornano utili la massa totale $M = m_1 + m_2$ e la massa ridotta $\mu = m_1 m_2/(m_1 + m_2)$.

• Alcuni cambiamenti di variabile.

$$\begin{split} \hat{H} &= \frac{\hat{\mathbf{p}}_1^2}{2m_1} + \frac{\hat{\mathbf{p}}_2^2}{2m_2} + U\big(|\hat{\mathbf{r}}_1 - \hat{\mathbf{r}}_2|\big) \\ &\rightarrow \hat{H} = \frac{\hat{\mathbf{p}}^2}{2M} + \frac{\hat{\mathbf{p}}^2}{2\mu} + U\big(\hat{\mathbf{x}}\big) \end{split}$$

$$\begin{split} \hat{H} &= \frac{\hat{\mathbf{p}}_1^2 + \hat{\mathbf{p}}_2^2}{2m} + \frac{1}{2}m\omega^2(\hat{\mathbf{r}}_1^2 + \hat{\mathbf{r}}_2)^2 + \frac{1}{4}m\kappa^2(\hat{\mathbf{r}}_1 - \hat{\mathbf{r}}_2)^2 \\ &\to \hat{H} = \frac{\hat{\mathbf{P}}^2}{2M} + \frac{1}{2}M\omega^2\hat{\mathbf{R}}^2 + \frac{\hat{\mathbf{p}}^2}{2\mu} + \frac{1}{2}\mu(\omega^2 + \kappa^2)\hat{\mathbf{r}}^2 \end{split}$$

Nell'ultimo, le masse delle due particelle sono uguali, quindi M = 2m e $\mu = m/2$.

4 OSCILLATORE ARMONICO

• Hamiltoniano e grandezze caratteristiche.

$$\hat{H} = \frac{\hat{P}^2}{2m} + \frac{1}{2}m\omega^2 \hat{X}^2$$
 (4.1)

Si definiscono variabili riscalate $\hat{p} = \hat{P}/p_{\omega}$ e $\hat{x} = \hat{X}/\ell_{\omega}$, dove $\ell_{\omega} = \sqrt{\hbar/m\omega}$ e $p_{\omega} = m\omega\ell_{\omega}$. Con queste:

$$\hat{H} = \frac{\hbar\omega}{2} \left[\hat{p}^2 + \hat{x}^2 \right] \tag{4.2}$$

• Operatori di distruzione e creazione. Tramite grandezze riscalate, sono definiti, rispettivamente, da:

$$\hat{a} = \frac{\hat{x} + i\hat{p}}{\sqrt{2}}$$
 $\hat{a}^{\dagger} = \frac{\hat{x} - i\hat{p}}{\sqrt{2}}$ (4.3)

Soddisfano $[\hat{a}, \hat{a}^{\dagger}] = 1 e$

$$\hat{H} = \frac{\hbar\omega}{2} \left[\hat{\alpha} \hat{\alpha}^{\dagger} + \hat{\alpha}^{\dagger} \hat{\alpha} \right] \tag{4.4}$$

• Operatore numero. Dato da $\hat{N} = \hat{\alpha}^{\dagger} \hat{\alpha}$ e soddisfa

$$[\hat{N}, \hat{\alpha}] = -\hat{\alpha}$$
 $[\hat{N}, \hat{\alpha}^{\dagger}] = \hat{\alpha}^{\dagger}$ (4.5)

Si ha

$$\hat{H} = \hbar\omega(\hat{N} + 1/2) \tag{4.6}$$

Gli autovalori di \hat{N} permettono di trovare autovalori di \hat{H} e caratterizzano le autoenergie perché $n \geqslant 0, n \in \mathbb{N}$:

$$E_n = \hbar \omega (n + 1/2) \tag{4.7}$$

• Funzioni d'onda dei primi due livelli.

$$\varphi_{0}(\omega, x) = \frac{1}{\pi^{1/4} \sqrt{\ell_{\omega}}} e^{-x^{2}/(2\ell_{\omega}^{2})}
\varphi_{1}(\omega, x) = \frac{\sqrt{2}}{\pi^{1/4} \sqrt{\ell_{\omega}}} \frac{x}{\ell_{\omega}} e^{-x^{2}/(2\ell_{\omega}^{2})}$$
(4.8)

La parità è $(-1)^n$.

 Oscillatore armonico in 2D e 3D. Le funzioni d'onda si ottengono per prodotto lungo le varie dimensioni. Le energie si sommano lungo le varie direzioni:

$$\begin{split} E_N^{(2D)} &= \hbar \omega (n_x + n_y + 1) = \hbar \omega (N+1) \\ E_N^{(3D)} &= \hbar \omega (n_x + n_y + n_z + 3/2) = \hbar \omega (N+3/2) \end{split}$$

I livelli energetici in 2D hanno degenerazione N+1; in 3D hanno degenerazione (N+1)(N+2)/2.

 Oscillatore in coordinate sferiche. Ottenuto perché l'Hamiltoniano commuta con il momento angolare totale.

Le energie si riscrivono per $N = 2n_r + \ell$:

$$E_{n_r,\ell} = \hbar\omega(2n_r + \ell + 3/2)$$
 (4.9)

La funzione d'onda si scrive come $\psi(r,\theta,\phi)=R_{n_r,\ell}(r)Y_{\ell,m}(\theta,\phi)$, con $Y_{\ell,m}(\theta,\phi)$ sono le armoniche sferiche.

La **parità** di ciascun livello è legata alle armoniche sferiche ed è $(-1)^{\ell}$.

• Energia. Si ha

$$E_n = \frac{\hbar^2 k_n^2}{2m} = \frac{\hbar^2 \pi^2 n^2}{2ma^2}, \ k_n = \frac{n\pi}{a}$$
 (5.1)

con n > 0, $n \in \mathbb{N}$.

6 ATOMO DI IDROGENO

• Hamiltoniano e approssimazioni. Si considera protone fermo (altrimenti si studia nel CM con $m_e \rightarrow \mu$); l'Hamiltoniano è:

$$\hat{H} = -\frac{\hbar^2}{2m_e} \nabla^2 - \frac{k}{r}, \ k = \frac{e^2}{4\pi\epsilon_0}$$
 (6.1)

- Costanti fondamentali. Si definiscono il raggio di Borh $r_B = \hbar/(m_e c \alpha)$ e la costante di Rydberg $E_B = m_e c^2 \alpha^2/2$, con α costante di struttura fine.
- Energie e degenerazione. Sono proporzionali alla costante di Rydberg E_B:

$$E_n = -\frac{E_B}{n^2} \tag{6.2}$$

La degenerazione di ciascun livello è n^2 . Tenendo conto anche dello spin, ammonta a $2n^2$.

7 Spin e composizione di momenti angolari

• Matrici di Pauli per spin 1/2.

$$\sigma_{x} = \begin{pmatrix} 0 & 1 \\ 1 & 0 \end{pmatrix} \quad \sigma_{y} = \begin{pmatrix} 0 & -i \\ i & 0 \end{pmatrix} \quad \sigma_{z} = \begin{pmatrix} 1 & 0 \\ 0 & -1 \end{pmatrix}$$

Gli operatori di spin 1/2 sono dati da $\hat{S}_{\alpha} = \frac{\hbar}{2} \sigma_{\alpha}$.

La base di σ_x è:

$$\frac{1}{\sqrt{2}} \begin{pmatrix} 1 \\ \pm 1 \end{pmatrix}, \ \lambda_{\pm} = \pm 1 \tag{7.1}$$

La base di σ_y è:

$$\frac{1}{\sqrt{2}}\begin{pmatrix}1\\\pm i\end{pmatrix},\;\lambda_{\pm}=\pm1 \tag{7.2}$$

La base di σ_z è:

$$\left\{ \begin{pmatrix} 1 \\ 0 \end{pmatrix}, \begin{pmatrix} 0 \\ 1 \end{pmatrix} \right\}, \ \lambda_{\pm} = \pm 1 \tag{7.3}$$

• Funzioni d'onda.

$$\psi_{n}(x) = \begin{cases} \sqrt{\frac{2}{a}} \sin\left(\frac{n\pi}{a}x\right) & \text{, n pari} \\ \sqrt{\frac{2}{a}} \cos\left(\frac{n\pi}{a}x\right) & \text{, n dispari} \end{cases}$$
 (5.2)

per $|x| \le \alpha/2$ e 0 fuori.

La **parità** deriva dai polinomi di Lagrange nelle armoniche sferiche ed è $(-1)^{\ell}$.

• Funzioni d'onda per il fondamentale. Per lo stato fondamentale si ha $n = 1, \ell = 0, m = 0$:

$$\begin{split} \psi_{100}(\mathbf{r},\theta,\phi) &= \frac{1}{\sqrt{\pi r_{B}^{3}}} e^{-\mathbf{r}/r_{B}} \\ \widetilde{\psi}_{100} &= \frac{2\sqrt{2}}{\pi} \left(\frac{r_{B}}{\hbar}\right)^{3/2} \frac{1}{(1 + (r_{B}p/\hbar)^{2})^{2}} \end{split} \tag{6.3}$$

 Funzione d'onda per n = 2. La parte radiale per n = 2 è:

$$R_{20}(r) = \frac{1}{2\sqrt{2}r_{B}^{3/2}} \left(2 - \frac{r}{r_{B}}\right) e^{-r/2r_{B}}$$

$$R_{21}(r) = \frac{1}{2\sqrt{6}r_{B}^{3/2}} \frac{r}{r_{B}} e^{-r/2r_{B}}$$
(6.4)

• Matrici per spin 1. Le matrici usate per lo spin 1

$$M_{x} = \frac{1}{\sqrt{2}} \begin{pmatrix} 0 & 1 & 0 \\ 1 & 0 & 1 \\ 0 & 1 & 0 \end{pmatrix}, M_{y} = \frac{1}{\sqrt{2}} \begin{pmatrix} 0 & -i & 0 \\ i & 0 & -i \\ 0 & i & 0 \end{pmatrix}$$

$$M_{z} = \begin{pmatrix} 1 & 0 & 0 \\ 0 & 0 & 0 \\ 0 & 0 & -1 \end{pmatrix}$$
(7.4)

Gli operatori di spin si ottengono dalla relazione

$$\hat{S}_{\alpha} = \hbar M_{\alpha} \tag{7.5}$$

La base di M_z è (gli autovalori seguono l'ordine degli autovettori):

$$\left\{ \begin{pmatrix} 1\\0\\0 \end{pmatrix}, \begin{pmatrix} 0\\1\\0 \end{pmatrix}, \begin{pmatrix} 0\\0\\1 \end{pmatrix} \right\} \quad \lambda = 1, 0, -1 \quad (7.6)$$

La base di M_x è:

$$\left\{ \frac{1}{2} \begin{pmatrix} 1\\\sqrt{2}\\1 \end{pmatrix}, \frac{1}{\sqrt{2}} \begin{pmatrix} 1\\0\\-1 \end{pmatrix}, \frac{1}{2} \begin{pmatrix} 1\\-\sqrt{2}\\1 \end{pmatrix} \right\} \tag{7.7}$$

con $\lambda = 1, 0, -1$ rispettivamente.

La base di M_u è:

$$\left\{ \frac{1}{2} \begin{pmatrix} 1\\ i\sqrt{2}\\ -1 \end{pmatrix}, \frac{1}{\sqrt{2}} \begin{pmatrix} 1\\ 0\\ 1 \end{pmatrix}, \frac{1}{2} \begin{pmatrix} 1\\ -i\sqrt{2}\\ -1 \end{pmatrix} \right\}$$
 (7.8)

con $\lambda = 1, 0, -1$ rispettivamente.

• Regole di composizione dei momenti angolari. Nel passare ad una base fornita da \hat{J}^2 e \hat{J}_z , si deve tenere conto che l'autovalore J associato a \hat{J}^2 è tale che

$$|j_1 - j_2| \le J \le j_1 + j_2$$
 (7.9)

TEORIA DELLE PERTURBAZIONI

• Primo ordine non-degenere.

$$\mathsf{E}_{\rm n}^{(1)} = \langle \psi_{\rm n}^{(0)} | \hat{\mathsf{H}}' | \psi_{\rm n}^{(0)} \rangle \tag{8.1}$$

$$|\psi_{n}^{(1)}\rangle = \sum_{n \neq m} \frac{\langle \psi_{m}^{(0)} | \hat{H}' | \psi_{n}^{(0)} \rangle}{E_{n}^{(0)} - E_{m}^{(0)}} |\psi_{m}^{(0)}\rangle$$
(8.2)

• Secondo ordine non-degenere.

$$E_{n}^{(2)} = \sum_{m \neq n} \frac{\left| \left\langle \psi_{m}^{(0)} \middle| \hat{H}' \middle| \psi_{n}^{(0)} \right\rangle \right|^{2}}{E_{n}^{(0)} - E_{m}^{(0)}}$$
(8.3)

• Primo ordine degenere. Se $E_n^{(0)}$ ha degenerazione q, allora il primo ordine perturbativo è ottenuto dagli autovalori della matrice della perturbazione,

OPERATORI PARITÀ E TIME-REVERSAL

• Definizione di parità e time-reveresal.

$$\hat{P}_\alpha \hat{x} \hat{P}_\alpha^{-1} = -\hat{x} \quad \hat{P}_\alpha \hat{p} \hat{P}_\alpha^{-1} = -\hat{p} \quad \hat{P}_\alpha \hat{J} \hat{P}_\alpha^{-1} = \hat{J}$$

$$\hat{T}\hat{x}\hat{T}^{-1}=\hat{x}\quad \hat{T}\hat{p}\hat{T}^{-1}=-\hat{p}\quad \hat{T}\hat{J}\hat{T}^{-1}=-\hat{J}$$

• Proprietà della parità.

$$\begin{split} \widehat{P}_{\alpha} |x\rangle &= |-x\rangle \qquad \widehat{P}_{\alpha} \psi(x) = \psi(-x) \\ \widehat{P}_{\alpha} |n\ell m\rangle &= (-1)^{\ell} |n\ell m\rangle \end{split}$$

$$\hat{\mathbf{p}} = (\mathbf{p}, \theta_1, \mathbf{p}, \mathbf{p},$$

$$\hat{P}_{\alpha}\left|\ell_{1}\ell_{2}JM\right\rangle = (-1)^{\ell_{1}+\ell_{2}}\left|\ell_{1}\ell_{2}JM\right\rangle$$

Scattering

• Flussi e sezione d'urto. Numero di particelle uscenti:

$$dN = J_i \sigma(\theta) d\Omega \tag{10.1}$$

Flusso uscente:

$$J_s = \frac{dN}{r^2 d\Omega} \tag{10.2}$$

Inoltre, deve valere

$$M = m_1 + m_2 (7.10)$$

Se n(M) indica numero di stati con M e N(J) indica il numero di stati con J:

$$N(J) = n(J) - n(J+1)$$
 (7.11)

Il valore n(M) sono tutte le combinazioni per cui $m_1 + m_2 = M$.

diagonalizzata nel sottospazio degenere:

$$W_{ab}^{(n)} = \left\langle \psi_{n,a}^{(0)} \middle| \hat{H}' \middle| \psi_{n,b}^{(0)} \right\rangle, \ a, b = 1, \dots, g$$
 (8.4)

Gli autovalori di questa sono le correzioni energetiche.

• Regola d'oro di Fermi. Stato iniziale |i| con energia E_i soggetto a perturbazione \hat{H}' che connette a stati continui (con una certa distribuzione) identificati dallo stato finale $|f\rangle$ a energia E_f , la probabilità di transizione è:

$$\omega_{i \to f} = \frac{2\pi}{\hbar} \left| \left\langle f \middle| \hat{H}' \middle| i \right\rangle \right|^2 \rho(E_f) \tag{8.5}$$

con $\rho(E_f)$ distribuzione degli stati.

• Proprietà del time-reversal. Se $[\hat{H}, \hat{T}] = 0$ e $|\psi(t)\rangle$ risolve l'equazione di Schrödinger, allora anche $\hat{T} | \psi(-t) \rangle$ la risolve.

$$\hat{T}\psi(x,t) = \psi^*(x,t) \tag{9.1}$$

$$\hat{T}|x\rangle = |x\rangle$$
 $\hat{T}|p\rangle = |-p\rangle$ (9.2)

Per spin 1/2, $\hat{T} = \hat{Y}\hat{K}$, con \hat{K} operatore che prende il coniugato e

$$\hat{\mathbf{Y}} = e^{-\frac{\mathbf{i}}{\hbar}\pi\hat{\mathbf{S}}_{y}} \tag{9.3}$$

In questo modo $\hat{T}\hat{S}\hat{T}^{-1} = -\hat{S}$.

Sezione d'urto differenziale:

$$\sigma(\theta) = \frac{r^2 J_s(\theta)}{J_i}$$
 (10.3)

Sezione d'urto totale:

$$\sigma = 2\pi \int_0^{\pi} \sigma(\theta) \sin \theta d\theta \qquad (10.4)$$

• Approssimazione di Born. Il potenziale su cui si invia il fascio di particelle deve essere tale per cui

$$|V(\alpha)| \ll \frac{\hbar^2}{m\alpha^2} \tag{10.5}$$

con a dimensione caratteristica della scala spaziale su cui agisce V.

Per fascio incidente veloce ka \gg 1, si può verificare:

$$|V(\alpha)| \ll \frac{\hbar^2}{m\alpha^2} k\alpha \tag{10.6}$$

• Ampiezza di scattering.

$$f(\theta) = -\frac{m}{2\pi\hbar^2} \int V(x') e^{i\mathbf{q}\cdot\mathbf{x'}} d^3x'$$

$$= -\frac{2m}{\hbar^2} \int V(\mathbf{r'}) \mathbf{r'} \frac{\sin q\mathbf{r'}}{q} d\mathbf{r'}$$
(10.7)

con $|\mathbf{q}| = 2k \sin \theta/2$. Da questa la **sezione d'urto** è:

$$\sigma(\theta) = |f(\theta)|^2 = \frac{m^2}{4\pi^2\hbar^4} |\tilde{V}(k-k')|^2$$
 (10.8)

11 Regole di selezione

- Parità. Per stati e operatori con parità definita, l'elemento di matrice è non-nullo se p₁ = p₂ nel caso di operatore pari, e p₁ ≠ p₂ per operatori dispari.
- Momento angolare \hat{L}_z . Per stati con m come numero quantico sono connessi solo con stati con uguale m dalla componente z di operatori come $\hat{\mathbf{d}}$ (dipolo elettrico), mentre le componenti x, y connettono stati con $\Delta m = \pm 1$.
- Momento angolare \hat{L}^2 . Sempre per operatori tipo

• Regola d'oro di Fermi.

$$d\omega_{fi} = \frac{2\pi}{\hbar} \left| \langle f|V|i\rangle \right|^2 \delta(E_f - E_i) d\nu_f \tag{10.9} \label{eq:delta_fi}$$

dove $|i\rangle=\sqrt{m/k\hbar}e^{i{\bf k}\cdot x}$ è lo stato iniziale e $|f\rangle=e^{i{\bf k}'\cdot x}$ è quello finale.

Si può scrivere come:

$$d\omega_{kk'} = \frac{4\pi m}{\hbar} \left| \langle f|V|i\rangle \right|^2 \delta(p^2 \!-\! p'^2) \frac{d^3p'}{(2\pi\hbar)^3} \mbox{ (10.10)} \label{eq:delta_kk'}$$

con

$$\langle f|V|i\rangle = \sqrt{\frac{m}{k}} \int e^{i\mathbf{k}'\cdot\mathbf{x}} V e^{i\mathbf{k}\cdot\mathbf{x}} d^3x \qquad \text{(10.11)}$$

• Probabilità di transizione.

$$P_{i\rightarrow f}(t) = \frac{1}{\hbar^2} \left| \int_0^t dt' \; e^{i\omega_{fi}t'} \left< \psi_f | \hat{H}' | \psi_i \right> \right|^2 \eqno(10.12)$$

 $\hat{\mathbf{d}}$, si ha $\Delta \ell = \pm 1$, con ℓ , $\ell' \neq 0$.

• Teorema di Wigner-Eckart. Dato un operatore tensoriale irriducibile $\hat{T}_m^{(\ell)}$, con $m=-\ell,\ldots,\ell$, si ha:

$$\left\langle \ell''m'' \left| \hat{T}_{m}^{(\ell)} \right| \ell'm' \right\rangle = C_{\ell m;mm'}^{\ell'm'} \left\langle \ell'' \left| \hat{T}^{(\ell)} \right| \ell' \right\rangle \tag{11.1}$$

Da cui l'elemento di matrice è non-nullo se

$$|\ell_i - \ell_f| \leqslant 1$$
 $|m_i - m_f| \leqslant 1$ $\ell_i + \ell_f \neq 0$ (11.2)

$$\int_0^{r_*} re^{-\alpha r^2} dr = \frac{1}{2\alpha} \left(1 - e^{-\alpha r_*^2} \right)$$

$$\int_0^{+\infty} r^n e^{-\alpha r} dr = \frac{n!}{\alpha^{n+1}}$$

$$\int_0^{+\infty} r^2 e^{-\alpha r^2} dr = \frac{\sqrt{\pi}}{4} \alpha^{-3/2}$$

13 SVILUPPI IN SERIE

$$\frac{1}{1-x} = \sum_{n=0}^{\infty} x^n$$

$$e^x = \sum_{n=0}^{\infty} \frac{x^n}{n!}$$

$$\sin x = \sum_{n=0}^{\infty} (-1)^n \frac{x^{2n+1}}{(2n+1)!} = x - \frac{x^3}{3!} + \frac{x^5}{5!} - \dots$$

$$\cos x = \sum_{n=0}^{\infty} (-1)^n \frac{x^{2n}}{(2n)!} = 1 - \frac{x^2}{2!} + \frac{x^4}{4!} - \dots$$

14 Proprietà del commutatore

$$\begin{split} [a,b+c] &= [a,b] + [a,c][a+b,c] = [a,c] + [b,c] \\ [a,b] &= -[b,a] \\ [a,[b,c]] + [b,[c,a]] + [c,[a,b]] = 0 \\ [a,bc] &= [a,b]c + b[a,c] \\ [ab,c] &= a[b,c] + [a,c]b \\ [abc,d] &= ab[c,d] + a[b,d]c + [a,d]bc \\ [\lambda a,b] &= \lambda[a,b] = [a,\lambda b], \lambda \in \mathbb{K} \end{split}$$

$$\begin{split} \int_0^{+\infty} r e^{-\alpha r} \sin(\beta r) \; dr &= \frac{2\alpha\beta}{(\alpha^2 + \beta^2)^2}, \; \Re\{\alpha\} > 0 \\ \int_0^{+\infty} \sin(q r) e^{-r/R} \; dr &= \frac{q R^2}{1 + q^2 R^2} \\ \int_{-\infty}^{+\infty} e^{-\alpha y^2 + by} dy &= \sqrt{\frac{\pi}{\alpha}} e^{b^2/4\alpha} \\ \int_0^{\pi} \sin\theta \cos^2\theta \; d\theta &= \frac{2}{3} \end{split}$$

$$\sinh x = \sum_{n=0}^{\infty} \frac{x^{2n+1}}{(2n+1)!} = x + \frac{x^3}{3!} + \frac{x^5}{5!} + \cdots$$

$$\cosh x = \sum_{n=0}^{\infty} \frac{x^{2n}}{(2n)!} = 1 + \frac{x^2}{2!} + \frac{x^4}{4!} + \cdots$$

$$\ln(1+x) = \sum_{n=1}^{\infty} (-1)^{n-1} \frac{x^n}{n} = x - \frac{x^2}{2} + \frac{x^3}{3} - \cdots$$

$$\arctan x = \sum_{n=0}^{\infty} (-1)^n \frac{x^{2n+1}}{2n+1} = x - \frac{x^3}{3} + \frac{x^5}{5} - \cdots$$

$$(1+x)^{\alpha} = 1 + \alpha x + \frac{\alpha(\alpha-1)}{2!} x^2 + \frac{\alpha(\alpha-1)(\alpha-2)}{3!} x^3 + \cdots$$

Per $n\geqslant 0,\;n\in\mathbb{Z}$ e f, g sviluppabili in serie:

$$\begin{split} & \left[\hat{\mathbf{x}}, \hat{\mathbf{p}}^{\mathbf{n}} \right] = \mathrm{i}\hbar\mathbf{n}\hat{\mathbf{p}}^{\mathbf{n}-1} \\ & \left[\hat{\mathbf{x}}^{\mathbf{n}}, \hat{\mathbf{p}} \right] = \mathrm{i}\hbar\mathbf{n}\hat{\mathbf{x}}^{\mathbf{n}-1} \\ & \left[\hat{\mathbf{x}}, \mathbf{f}(\hat{\mathbf{p}}) \right] = \mathrm{i}\hbar\frac{\mathrm{d}\mathbf{f}}{\mathrm{d}\mathbf{p}}(\hat{\mathbf{p}}) \\ & \left[g(\hat{\mathbf{x}}), \hat{\mathbf{p}} \right] = \mathrm{i}\hbar\frac{\mathrm{d}g}{\mathrm{d}\mathbf{x}}(\hat{\mathbf{x}}) \end{split}$$

15 Polinomi di Hermite, Laguerre e Lagrange e armoniche sferiche

• Polinomi di Legendre. Parte angolare (m = 0) per potenziale centrale, tipo atomo di idrogeno in cui $\Theta(\theta) \propto P_{\ell}(\cos \theta)$.

$$P_0(x) = 1$$

$$P_1(x) = x$$

$$P_2(x) = \frac{1}{2}(3x^2 - 1)$$

• Polinomi di Hermite. Derivanti ad esempio da

oscillatore armonico 1D.

$$H_0(x) = 1$$

 $H_1(x) = 2x$
 $H_2(x) = 4x^2 - 2$

• Polinomi di Laguerre. Parte radiale dell'atomo di idrogeno ($\ell = 0$)

$$L_0(x) = 1$$

$$L_1(x) = 1 - x$$

$$L_2(x) = \frac{1}{2}(x^2 - 4x + 2)$$

• Armoniche sferiche. Parte angolare completa dell'equazione di Schrödinger in potenziale centrale (tipo atomo di idrogeno).

$$\begin{split} Y_{00}(\theta,\phi) &= \frac{1}{\sqrt{4\pi}} \\ Y_{10}(\theta,\phi) &= \sqrt{\frac{3}{4\pi}} \cos \theta \\ Y_{11}(\theta,\phi) &= -\sqrt{\frac{3}{8\pi}} \sin \theta e^{i\phi} \end{split}$$

16 Derivate in coordinate sferiche

$$\begin{split} \nabla f(r,\theta,\phi) &= \hat{e}_r \frac{\partial f}{\partial r} + \hat{e}_\theta \frac{1}{r} \frac{\partial f}{\partial \theta} + \hat{e}_\phi \frac{1}{r \sin \theta} \frac{\partial f}{\partial \phi} \\ \nabla^2 f(r,\theta,\phi) &= \frac{1}{r^2} \frac{\partial}{\partial r} \left(r^2 \frac{\partial f}{\partial r} \right) + \frac{1}{r^2 \sin \theta} \frac{\partial}{\partial \theta} \left(\sin \theta \frac{\partial f}{\partial \theta} \right) + \frac{1}{r^2 \sin^2 \theta} \frac{\partial^2 f}{\partial \phi^2} \\ \nabla &= \hat{e}_r \frac{\partial}{\partial r} + \hat{e}_\theta \frac{1}{r} \frac{\partial}{\partial \theta} + \hat{e}_\phi \frac{1}{r \sin \theta} \frac{\partial}{\partial \phi} \\ \nabla^2 &= \frac{1}{r^2} \frac{\partial}{\partial r} \left(r^2 \frac{\partial}{\partial r} \right) + \frac{1}{r^2 \sin \theta} \frac{\partial}{\partial \theta} \left(\sin \theta \frac{\partial}{\partial \theta} \right) + \frac{1}{r^2 \sin^2 \theta} \frac{\partial^2}{\partial \phi^2} \end{split}$$

17 Trucchi utili

• Funzione d'onda negli impulsi.

Quando l'Hamiltoniano è speculare in impulso e posizione, è possibile ottenere le funzioni d'onda nello spazio degli impulsi definendo dei parametri in modo che l'impulso assuma stessa forma delle posizioni (stando attenti a ridefinire tutti i parametri nella funzione d'onda, di modo che eventuali funzioni degli impulsi risultino adimensionali).

ESEMPIO 17.1.

Per oscillatore armonico 2D con $\hat{H}=\hat{p}^2/2m+m\omega^2\hat{\chi}^2/2$, la funzione d'onda nelle posizioni dello stato fondamentale è $\pi^{-1/2}\gamma^{-1}e^{-(\chi^2+y^2)/2\gamma^2}$, con γ^2 lunghezza caratteristica del sistema; nello spazio degli impulsi, questa diventa $\pi^{-1/2}\gamma'^{-1}e^{-(p_\chi^2+p_y^2)/2\gamma'^2}$, dove γ' è l'impulso caratteristico del sistema, dato da \hbar/γ .

• Soluzione esatta a Hamiltoniano con perturbazione.

Quando viene chiesto un calcolo esatto, invece che approssimazione perturbativa, probabilmente c'è la possibilità di riarrangiare l'Hamiltoniano e di ricondurlo ad uno di una forma analoga a quello imperturbato.

• Operatore prodotto scalare tra due spin.

Nello studio di un Hamiltoniano di spin $\hat{H}_s = \kappa \hat{\mathbf{s}}_1 \cdot \hat{\mathbf{s}}_2$, torna utile la relazione

$$\hat{\mathbf{S}}_1 \cdot \hat{\mathbf{S}}_2 = \frac{\hat{S}^2 - \hat{S}_1^2 - \hat{S}_2^2}{2} \tag{17.1}$$

dove $\hat{\mathbf{S}} = \hat{\mathbf{S}}_1 + \hat{\mathbf{S}}_2$.

• Quantità conservate.

Le quantità di cui verificare la commutazione con l'Hamiltoniano sono: \hat{p} , \hat{L} , \hat{J} , \hat{P} , \hat{T} . In generale, sono sufficienti le prime tre (se non le prime due nel caso in cui non vi sia un termine di spin nell'Hamiltoniano).

• Calcolo elementi di matrice. Ricordare che è possibile utilizzare regole di selezione o espressioni dell'operatore (tipo per la posizione usare operatori di salita e discesa nell'oscillatore armonico), oppure si può passare al calcolo dell'integrale, come nel caso della trattazione perturbativa del potenziale di Coulomb.

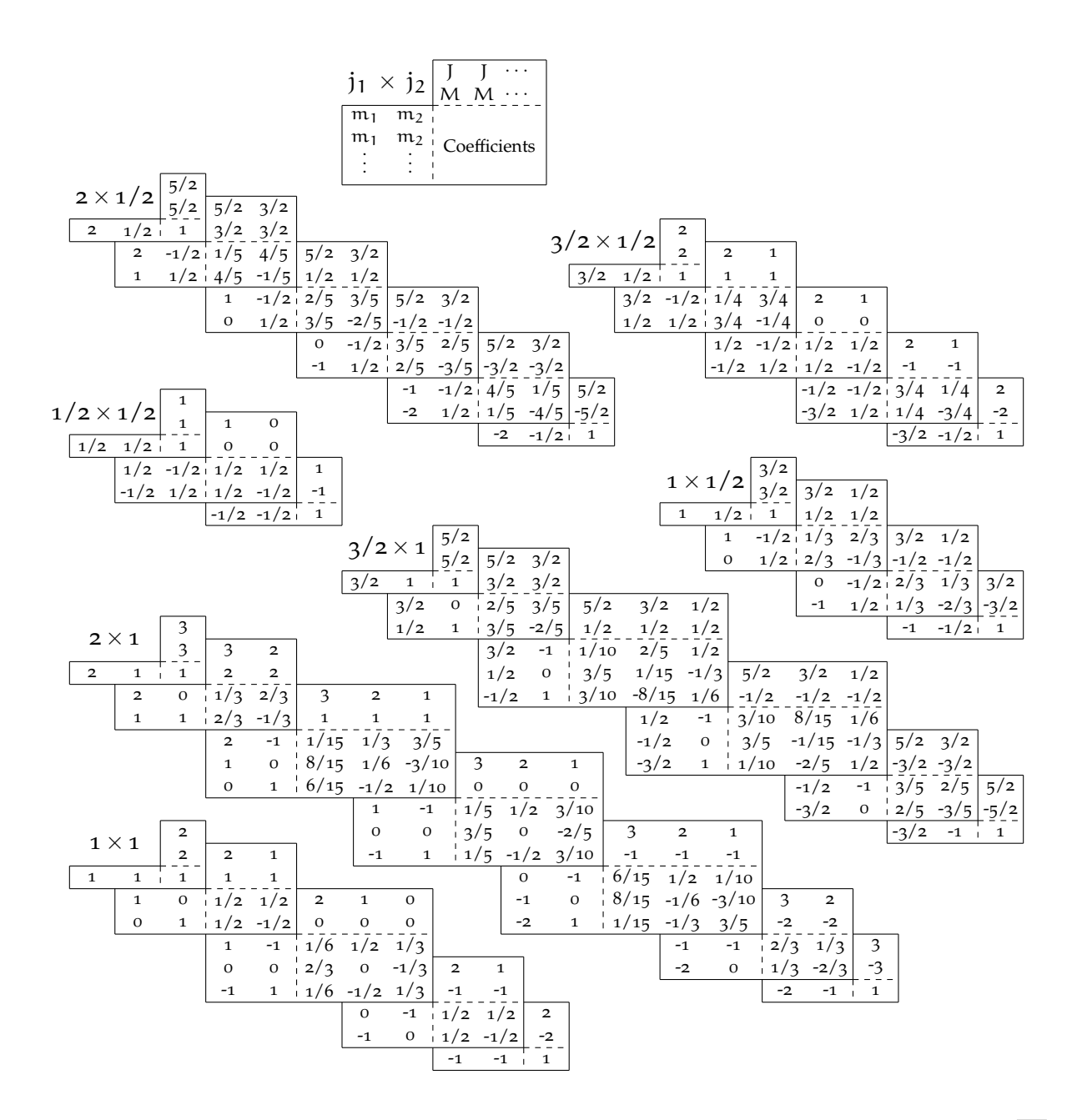


Figura 1: Clebsch-Gordan coefficients. A square root is understood on each coefficient, that is, -1/3 means $-\sqrt{1/3}$.